

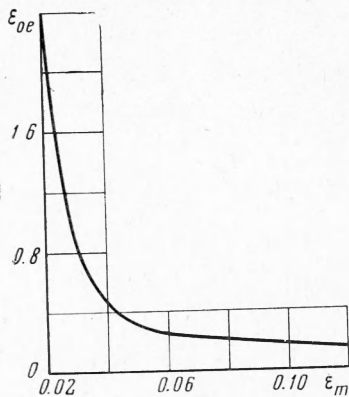
## ОБ АЛГОРИТМАХ МОДЕЛИРОВАНИЯ СЛУЧАЙНОЙ ДЛИНЫ ВОЛНЫ КОМПТОНОВСКИ РАССЕЯННОГО ГАММА-КВАНТА

*O. С. Маренков*

(Ленинград)

Решение задач  $\gamma$ -нереноса в веществе методом Монте-Карло связано с многократным моделированием комптоновского рассеяния. В качестве энергетической характеристики кванта целесообразно использовать длину волны в комптоновских единицах  $\lambda$ , поскольку все формулы для комптон-процесса имеют наиболее простой и, следовательно, экономный вид с точки зрения затрат машинного времени.

Случайная длина волны  $n$ -кратно рассеянного  $\gamma$ -кванта  $\lambda_n$ , как известно, определяется на основе распределения Клейна — Нишины. Для вычисления  $\lambda_n$  по данным



$\lambda_{n-1}$  и  $\xi$  (случайное число) приходится решать трансцендентное уравнение, что является весьма малозатратной операцией даже при использовании быстродействующих ЭВМ. Возможна аппроксимация функциональной зависимости  $\lambda_n = f(\lambda_{n-1}, \xi)$  в ограниченных интервалах изменения  $\lambda$  некоторыми несложными формулами типа многочленных приближений по  $\lambda_{n-1}$  и  $\xi$ . Однако ясно, что для улучшения качества статистического моделирования имеет смысл использовать только точные способы вычисления  $\lambda_n$ .

Точные экономные алгоритмы моделирования  $\lambda_n$  основаны на применении так называемой техники случайной «отбраковки» или исключения. Известен алгоритм Кана [1] и алгоритм, основанный на использовании простейшей методики случайного исключения (см., например, [1]) и реализованный в единицах  $a = \lambda^{-1}$  в [2].

Реализуем второй алгоритм в единицах  $\lambda$ . Для этого необходимо определить абсолютный максимум функции плотности вероятности на интервале изменения аргумента. Можно показать, что максимальное значение Клейна — Нишиновской функции плотности вероятности

$$k(\lambda_{n-1}, \lambda_n) = \left( \frac{\lambda_{n-1}}{\lambda_n} \right)^2 \left[ \frac{\lambda_{n-1}}{\lambda_n} + \frac{\lambda_n}{\lambda_{n-1}} + 2(\lambda_{n-1} - \lambda_n) + (\lambda_{n-1} - \lambda_n)^2 \right]$$

на интервале  $\lambda_{n-1} \leq \lambda_n \leq \lambda_{n-1} + 2$  равно 2 и достигается при  $\lambda_n = \lambda_{n-1}$ . В этом случае алгоритм моделирования  $\lambda_n$  выглядит так:

а) выбираются два случайных числа  $\xi_1$  и  $\xi_2$  и вычисляется

$$\Lambda_n = \lambda_{n-1} + 2\xi_1$$

б) проверяется неравенство

$$2\xi_2 \leq k(\lambda_{n-1}, \Lambda_n)$$

Если неравенство выполняется, то  $\lambda_n = \Lambda_n$ . В противном случае  $\xi_1$  и  $\xi_2$  отвергаются, и процедура повторяется с новой парой случайных чисел.

Представляет практический интерес сравнить эффективность алгоритма Кана (в дальнейшем — I) и вышеописанного (в дальнейшем — II) в широком энергетическом интервале. Это было выполнено непосредственно на цифровой машине с фиксацией в процессе многократного комптоновского рассеяния среднего времени  $t$  деградации энергии квантов от начальной  $\varepsilon_0$  до конечной  $\varepsilon_m = \varepsilon_m$ , т. е. моделировался только процесс «замедления», а не траектория кванта в целом. Прослеживалось не менее 1000 подобных замедлений для каждого набора  $\varepsilon_0$  и  $\varepsilon_m$ .

Приводим результаты определения отношения  $\tau = t_I/t_{II}$  для значений  $\varepsilon_m = 0.02, 0.05, 0.13 \text{ МэВ}$  в зависимости от значений  $\varepsilon_0, \text{МэВ}$ .

$\varepsilon_0 =$	10	8	6	4	3	2.6	2	1	( $\varepsilon_m = 0.02$ )
$\tau =$	0.79	0.93	0.95	0.96	0.97	1	1.05	1.12	
$\varepsilon_0 =$	0.8	0.6	0.4	0.2	0.1	0.08	0.06	0.04	( $\varepsilon_m = 0.02$ )
$\tau =$	1.17	1.19	1.22	1.32	1.35	1.37	1.33	1.40	

$\varepsilon_0 =$	10	8	6	4	3	2	1	0.8	( $\varepsilon_m = 0.05$ )
$\tau =$	0.61	0.62	0.64	0.66	0.72	0.75	0.83	0.90	
$\varepsilon_0 =$	0.6	0.5	0.4	0.32	0.2	0.1	0.08	0.06	( $\varepsilon_m = 0.05$ )
$\tau =$	0.92	0.95	0.97	1	1.07	1.17	1.30	1.37	
$\varepsilon_0 =$	10	8	6	4	3	2			( $\varepsilon_m = 0.13$ )
$\tau =$	0.34	0.61	0.45	0.47	0.52	0.57			
$\varepsilon_0 =$	1	0.8	0.6	0.4	0.3	0.2			( $\varepsilon_m = 0.13$ )
$\tau =$	0.62	0.69	0.75	0.86	0.89	0.98			

Экономичность алгоритмов I и II существенно зависит от  $\varepsilon_0$  и  $\varepsilon_m$ . Если  $\varepsilon_m \geq 13 M_{ee}$ , то для любых  $\varepsilon_0$  алгоритм I более выгоден, чем алгоритм II ( $\tau \leq 1$ ). Для каждого значения  $\varepsilon_m < 0.13 M_{ee}$  существует такое значение  $\varepsilon_0 = \varepsilon_{0e}$ , при котором оба алгоритма одинаково экономны ( $\tau = 1$ ). С увеличением  $\varepsilon_m$  значение  $\varepsilon_{0e}$  смещается в сторону более низких энергий. В случае  $\varepsilon_0 \ll \varepsilon_{0e}$  необходимо использовать алгоритм II ( $\tau > 1$ ).

Данные, приведенные на фигуре, позволяют определить значение  $\varepsilon_{0e}$  в зависимости от  $\varepsilon_m < 0.13 M_{ee}$ . Очевидно, что в случае  $\varepsilon_0 > \varepsilon_{0e}$  имеет смысл последовательное использование алгоритмов I и II соответственно, в особенности при  $\varepsilon_0 \gg \varepsilon_{0e}$  и относительно более низких  $\varepsilon_m$ .

Поступила 20 I 1969

#### ЛИТЕРАТУРА

- Фано У., Спенсер Л., Бергер М. Перенос гамма-излучения. М., Атомиздат, 1963.
- Дядькин И. Г. Моделирование случайной энергии гамма-кванта, рассеянного в результате комптон-эффекта. Ж. вычисл. матем. и матем. физ., 1966, т. 6, № 2.

#### ОТРАЖЕНИЕ МАГНИТОЗВУКОВЫХ ВОЛН ОТ УПРУГОГО СЛОЯ С КОНЕЧНОЙ ЭЛЕКТРОПРОВОДНОСТЬЮ

Л. Я. Косачевский, В. Г. Пономаренко

(Донецк)

В работе [1] была решена задача об отражении магнитозвуковых волн от плоского слоя электропроводящей жидкости (или газа), находящейся в постоянном однородном магнитном поле  $H$ .

Ниже решается аналогичная задача для упругого слоя. Найдены коэффициенты отражения и прозрачности слоя в предельных случаях слабого и сильного магнитных полей.

1. Рассмотрим отражение от упругого плоского слоя толщины  $d$ , на который под произвольным углом падает быстрая магнитозвуковая волна (фигура). Граница слоя совпадает с плоскостью  $xy$ . Плоскость падения волны совмещена с плоскостью  $xz$ . Предполагаем, что вектор  $H$  лежит в этой же плоскости и составляет с осью  $x$  угол  $\Phi$ . Жидкие (или газообразные) среды по обе стороны слоя электропроводящие.

В жидкой среде имеют место быстрая и медленная магнитозвуковые волны, поляризованные в плоскости  $xz$ , и волны Альфвена,— поляризованные перпендикулярно этой плоскости.

В упругой среде существует пять типов волн. Три из них — быстрая и медленная магнитоупругие, а также электромагнитная, связанная с процессом диффузии магнитного поля в среде,— поляризованы в плоскости  $xz$ . Четвертая и пятая волны поляризованы перпендикулярно  $xz$ .

Волны, поляризованные перпендикулярно плоскости падения, распространяются независимо от остальных, поэтому в данной работе мы их можем не принимать во внимание.

Если на слой под произвольным углом  $\theta$  падает быстрая магнитозвуковая волна, то при этом будут отражаться в верхнюю среду и проходить в нижнюю как быстрые, так и медленные магнитозвуковые волны. Внутри слоя в результате многократных отражений от его границ образуются результирующие волны трех типов.

Среду, из которой падает волна, слой и нижнюю среду будем обозначать соответственно номерами 3, 2 и 1. Величины, относящиеся к различным типам волн, будем обо-